

#### República Federativa do Brasil

Ministério da Economia Instituto Nacional da Propriedade Industrial (21) BR 102018006344-8 A2



(22) Data do Depósito: 28/03/2018

(43) Data da Publicação Nacional: 15/10/2019

(54) Título: APROXIMAÇÃO PARA A TRANSFORMADA DE KARHUNEN-LOÈVE COM BAIXO CUSTO ARITMÉTICO COM APLICAÇÕES EM COMPRESSÃO DE IMAGENS

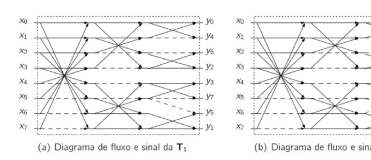
(51) Int. Cl.: H04N 19/42; H04N 19/60.

(52) CPC: H04N 19/42; H04N 19/60.

(71) Depositante(es): UNIVERSIDADE FEDERAL DE PERNAMBUCO; UNIVERSIDADE FEDERAL DE SANTA MARIA.

(72) Inventor(es): ANABETH PETRY RANDÜZ; RENATO JOSÉ DE SOBRAL CINTRA; FÁBIO MARIANO BAYER; DIEGO RAMOS CANTERLE.

(57) Resumo: A transformada de Karhunen-Loève (KLT) é frequentemente utilizada na descorrelação de dados e na redução de dimensionalidade. Por sua característica de compactação de energia em poucos componentes, encontram-se aplicações importantes da KLT no contexto de compressão de imagens. Contudo, seu uso em aplicações reais é impossibilitado devido ao alto custo computacional requerido para seu cálculo a cada sinal de entrada. Neste contexto, a presente invenção propõe uma versão de baixo custo computacional para a KLT por meio da aplicação da função sinal nos elementos da matriz induzida pela KLT. Denominamos a transformada proposta por KLT sinalizada (SKLT). É dada ênfase nas transformadas de comprimento 8 devido à utilização desse comprimento de transformadas na codificação de imagem, como no padrão JPEG. A SKLT foi numericamente avaliada por meio de medidas de codificação e de distância totais para a KLT exata.



# APROXIMAÇÃO PARA A TRANSFORMADA DE KARHUNEN-LOÈVE COM BAIXO CUSTO ARITMÉTICO COM APLICAÇÕES EM COMPRESSÃO DE IMAGENS

- 1. Propõem-se uma nova transformada que aproxima a transformada de Karhunen-Loève de dimensão 8 × 8 e aplica-se a transformada em blocos. Esse tipo de transformada pode ser utilizada em compressão de imagens e vídeo como nos padrões JPEG e HEVC. Para aplicação substitui-se a KLT exata pela aproximação proposta quando o sinal segue um processo markoviano de primeira ordem, tendo um alto poder de descorrelação dos dados. Imagens estacionárias são um exemplo deste tipo de sinal. A transformada proposta possui um baixo custo computacional, o que potencializa sua aplicação em compressão de imagens.
- 2. A transformada de Karhunen-Loève (KLT) é comumente utilizada no contexto de descorrelação de dados e redução de dimensionalidade. Ela envolve um procedimento matemático que transforma as variáveis correlacionadas em variáveis não-correlacionadas. Usualmente, apenas as primeiras componentes principais são utilizadas para representar grande parte da variabilidade (energia) dos dados (sinal). Essa característica de retenção de energia tem grande importância para a compressão de imagens, pois a KLT é capaz de preservar as informações da imagem mesmo reduzindo a dimensionalidade dos dados.
- 3. Quando o sinal de entrada é um processo Markoviano de primeira ordem, a KLT descorrelaciona completamente o sinal no domínio da transformada. De fato, a KLT é uma transformada linear ótima capaz de minimizar o erro quadrático médio na compressão dos dados e concentrar maior energia em poucos coeficientes do sinal de saída. No entanto, o uso da KLT em processamento de sinais é reduzido, pois sua construção

depende da matriz de variância e covariância do sinal de entrada, dificultando o desenvolvimento de algoritmos rápidos que a implemente. Neste contexto, surge a transformada discreta do cosseno (DCT) que é uma aproximação assintótica para a KLT quando a correlação do sinal de entrada tende à unidade. A definição da DCT independe do sinal de entrada, o que permite o desenvolvimento de algoritmos rápidos computacionalmente eficientes. Assim, a DCT é amplamente adotada em padrões de compressão de imagem e vídeo como JPEG, MPEG e HEVC, por exemplo.

- 4. Entretanto, o uso da DCT ainda pode ser proibitivo em contextos que disponham de baixo poder de processamento ou severa restrição de autonomia energética. Isto se dá pelo fato de que a DCT, em sua forma exata, requer multiplicações por números reais que exigem aritmética de ponto flutuante para sua implementação. Implementações em hardware para realizar operações aritméticas em ponto flutuante-especialmente multiplicações-são usualmente demandantes em termos de circuitaria e de consumo. Neste sentido, diversas aproximações para a DCT vêm sendo propostas, de forma que sejam livres de multiplicação. Uma importante aproximação para a DCT é a clássica DCT sinalizada (SDCT). A SDCT é construída através da aplicação da função sinal nos elementos da matriz da DCT, se tornando livre de multiplicações não triviais. Dessa forma, a SDCT possui capacidade de codificação semelhante à DCT, mas oferece um custo computacional bastante reduzido.
- 5. Considerando as boas propriedades da KLT e ao nosso melhor conhecimento ausência de algoritmos e dipositivos no que tange alternativas de baixo custo para a KLT, objetivamos construir aproximações para a KLT seguindo uma variação da abordagem utilizada para derivar a SDCT, que emprega a função sinal como meio para aproximação matricial.

6. A KLT é uma transformação linear representada por uma matriz orthogonal  $K_N^{(\rho)}$  que descorrelaciona um sinal N-dimensional de entrada  $\mathbf{x} = [x_0 \ x_1 \ \cdots \ x_{N-1}]^T$  resultando em um sinal descorrelacionado  $\mathbf{y} = [y_0 \ y_1 \ \cdots \ y_{N-1}]^T$ . Considerando que  $\mathbf{x}$  seja um processo Markoviano de primeira ordem com autocorrelação  $\rho$ , assumido na maioria das aplicações em processamento de sinais, esta operação é realizada matricialmente por

$$\mathbf{y} = \mathbf{K}_N^{(\rho)} \cdot \mathbf{x}.$$

7. Considerando o sinal  $\mathbf{x}$  com a matriz de covariância associada dada por:

$$\mathbf{\Sigma}_N = E\{(\mathbf{x} - E\{\mathbf{x}\})(\mathbf{x} - E\{\mathbf{x}\})^{\top}\},$$

temos que as linhas correspondentes da matriz ortogonal da transformada de Karhunen-Loève  $K_N^{(\rho)}$  são os autovetores da matriz de covariância simétrica positiva  $\sum_N$ . Uma propriedade essencial dessa transformada é que ela produz coeficientes descorrelacionados, ou seja:

$$E\{(\mathbf{y} - E\{\mathbf{y}\})(\mathbf{y} - E\{\mathbf{y}\})^{\top}\} = \mathbf{K}_{N}^{(\rho)} \cdot \mathbf{\Sigma}_{N} \cdot \mathbf{K}_{N}^{(\rho)\top} = \begin{bmatrix} \lambda_{1} & \dots & 0 \\ \vdots & \ddots & \vdots \\ 0 & \dots & \lambda_{N} \end{bmatrix},$$

em que cada  $\lambda_i$  representa um autovalor da matriz  $\sum_N$ .

8. A matriz de covariância de **x** é dada pelos seguintes elementos:

$$r_{i,j}^{(\mathsf{x})} = \rho^{|i-j|},$$

em que  $\rho$  é o coeficiente de correlação,  $0 < \rho < 1$ , e i , j = 0, 1, . . . ,N - 1. Os (i,j)-ésimos elementos da matriz de transformação  $K_N^{(\rho)}$ , dado um valor arbitrário de  $\rho$ , são dados por:

$$u_{ij} = \sqrt{\frac{2}{N + \lambda_j}} \sin \left[ \omega_j \left( i - \frac{N-1}{2} \right) + \frac{(j+1)\pi}{2} \right],$$

em que os autovalores da matriz de covariância são:

$$\lambda_j = \frac{1 - \rho^2}{1 + \rho^2 - 2\rho\cos\omega_j},$$

e  $\omega_1$ ,  $\omega_2$ ,  $\cdots$ ,  $\omega_N$  são as N soluções da equação:

$$\tan N\omega = \frac{-(1-\rho^2)\sin\omega}{(1+\rho^2)\cos\omega - 2\rho}.$$

- 9. No contexto de processamento de imagens, os dados dos pixels adjacentes são altamente correlacionados.
  - 10. A matriz de transformação associada à SKLT é definida por:

$$\mathbf{T}_{N}^{(\rho)} \triangleq \frac{1}{\sqrt{N}}\operatorname{sign}\left(\mathbf{K}_{N}^{(\rho)}\right)$$
 ,

em que a função sign(·) é dada por:

$$sign(x) = \begin{cases} 1, & \text{se } x > 0, \\ 0, & \text{se } x = 0, \\ -1, & \text{se } x < 0. \end{cases}$$

Quando aplicada a uma matriz, a função sinal é empregada elemento-aelemento.

- 11. A proposta desta transformada, assim como a SDCT, se dá principalmente pelo motivo de ela reduzir o número total de operações aritméticas necessárias para seu cálculo. Como é uma transformada binária com entradas ±1, requer apenas adições para sua implementação. Focando na compressão de imagens e na baixa complexidade da SKLT, serão avaliadas apenas transformadas de comprimento N = 8.
- 12. Como a SKLT depende de N e de  $\rho$ , fixamos N = 8 e procedemos uma busca na família de matrizes  $\mathbf{T}_8^\rho$  para diferentes valores de  $\rho$ . Para isso foi feita uma busca computacional variando o  $\rho$  de 0.01 a 0.999 com passos de  $10^{-3}$ . A busca computacional retorna somente duas diferentes matrizes. A primeira,  $\mathbf{T}_1$ , é definida para qualquer valor de autocorrelação no intervalo  $0 < \rho < 0.619$ . A segunda,  $\mathbf{T}_2$ , é definida em  $0.620 < \rho < 1$ . Destaca-se que a  $\mathbf{T}_2$  é a mesma matriz da SDCT. Já a  $\mathbf{T}_1$ , ao nosso melhor conhecimento, é uma transformada nova não encontrada na literatura.
  - 13. As respectivas matrizes da  $T_1$  e da  $T_2$  são dadas por:

$$\mathbf{T}_1 = \frac{1}{\sqrt{8}} \begin{bmatrix} \frac{1}{1} & \frac{1}{1} & \frac{1}{1} & \frac{1}{1} & \frac{1}{1} & \frac{1}{1} \\ \frac{1}{1} & \frac{1}{1} & \frac{1}{1} - \frac{1}{1} - \frac{1}{1} & \frac{1}{1} \\ \frac{1}{1} & \frac{1}{1} - \frac{1}{1} & \frac{1}{1} & \frac{1}{1} & \frac{1}{1} \\ \frac{1}{1} & \frac{1}{1} - \frac{1}{1} & \frac{1}{1} - \frac{1}{1} & \frac{1}{1} \\ \frac{1}{1} - \frac{1}{1} & \frac{1}{1} - \frac{1}{1} & \frac{1}{1} & \frac{1}{1} & \frac{1}{1} \\ \frac{1}{1} - \frac{1}{1} & \frac{1}{1} - \frac{1}{1} & \frac{1}{1} & \frac{1}{1} & \frac{1}{1} \end{bmatrix}$$

е

$$\mathbf{T}_2 = \frac{1}{\sqrt{8}} \begin{bmatrix} \frac{1}{1} & \frac{1}{1} & \frac{1}{1} & \frac{1}{1} & \frac{1}{1} & \frac{1}{1} & \frac{1}{1} \\ \frac{1}{1} & \frac{1}{1} & \frac{1}{1} & -\frac{1}{1} & -\frac{1}{1} & \frac{1}{1} \\ \frac{1}{1} & -\frac{1}{1} & -\frac{1}{1} & -\frac{1}{1} & \frac{1}{1} & \frac{1}{1} \\ \frac{1}{1} & -\frac{1}{1} & -\frac{1}{1} & -\frac{1}{1} & -\frac{1}{1} & \frac{1}{1} \\ \frac{1}{1} & -\frac{1}{1} & -\frac{1}{1} & -\frac{1}{1} & -\frac{1}{1} & \frac{1}{1} \\ \frac{1}{1} & -\frac{1}{1} & -\frac{1}{1} & -\frac{1}{1} & -\frac{1}{1} & \frac{1}{1} \end{bmatrix}.$$

14. Além de buscar transformadas livres de multiplicação, é crucial o desenvolvimento de algoritmos rápidos capazes de reduzir o custo aritmético do cômputo das transformadas. Assim, propomos para a  $\mathbf{T}_1$  o algoritmo

rápido que está demonstrado na forma de diagrama de fluxo de sinal (DFS) na Figura 1(a); e para a  $T_2$  na Figura 1(b). Nesses DFS, o encontro de duas setas indica uma adição, desta forma é fácil verificar que as transformadas necessitam 24 adições cada para o seu computo.

15. As transformadas  $T_1$  e  $T_2$  são não ortogonais, mas suas inversas são de baixa complexidade pois possuem como entradas apenas elementos do conjunto  $\{\pm 1, \pm 2\}$  e são dadas, respectivamente, por:

$$\mathbf{T}_{1}^{-1} = 8\sqrt{8} \begin{bmatrix} 1 & 0 & 1 & 2 & 1 & 2 & 1 & 0 \\ 1 & 2 & 1 & -0 & -1 & -2 & -1 & -0 \\ 1 & 2 & -1 & -2 & -1 & -2 & 1 & 2 \\ 1 & -0 & -1 & -0 & 1 & 2 & -1 & -2 \\ 1 & -0 & -1 & -0 & 1 & 2 & -1 & 2 \\ 1 & -2 & -1 & 2 & 1 & 2 & 1 & -2 \\ 1 & -2 & 1 & -0 & 1 & 2 & -1 & -0 \end{bmatrix}$$

е

$$\mathbf{T}_{2}^{-1} = 8\sqrt{8} \begin{bmatrix} \frac{1}{1} & \frac{2}{2} & \frac{1}{1} & \frac{2}{0} & \frac{1}{1} & 0 & \frac{1}{1} & 0 \\ \frac{1}{1} & \frac{2}{2} & \frac{1}{1} & 0 & -1 & -2 & -1 & -0 \\ \frac{1}{1} & 0 & -1 & -2 & -1 & -0 & 1 & 2 \\ \frac{1}{1} & 0 & -1 & 0 & 1 & 2 & -1 & -2 \\ \frac{1}{1} & 0 & -1 & 0 & 1 & -2 & -1 & 2 \\ \frac{1}{1} & -0 & -1 & 2 & -1 & -0 & 1 & -2 \\ \frac{1}{1} & -2 & 1 & -0 & 1 & 2 & -1 & -0 \\ \frac{1}{1} & -2 & 1 & -2 & 1 & -0 & 1 & -0 \end{bmatrix}$$

- 16. Para a transposta de  $\mathbf{T}_1^{-1}$  temos o algoritmo rápido que está demonstrado na Figura 2(a); e para a transposta de  $\mathbf{T}_2^{-1}$  na Figura 2(b). Multiplicações por  $\pm 2$  são *bit-shifts* e são considerados de baixa complexidade computacional. Verifica-se que para o computo de  $\mathbf{T}_1^{-1}$  são necessárias 22 adições e 4 *bit-shift* e para o computo de  $\mathbf{T}_2^{-1}$  são necessárias 20 adições e 4 *bit-shift*.
- 17. Avaliamos o desempenho das transformadas propostas quando aplicadas na compressão de imagens. Por simplicidade, mas sem perda de generalidade, serão consideradas imagens de 8 bits em escala de cinza. Uma imagem digital pode ser definida como uma matriz, em que cada pixels representa um nível de escala de cinza com valores de zero à  $255 = 2^8 1$ .

- 18. A compressão de imagens do tipo JPEG segue os seguintes passos : (i) a imagem é dividida em blocos Aj de ordem 8 × 8; (ii) é aplicada a transformação bidimensional  $\mathbf{T}$  em cada bloco, por  $\mathbf{B}_j = \mathbf{T} \cdot \mathbf{A}_j \cdot \mathbf{T}_1^{-1}$ ; (iii) empregando a sequência zig-zag padrão retém-se apenas os r coeficientes iniciais em cada bloco Bj e os 64-r coeficientes restantes são anulados, obtendo os blocos truncados  $\overline{\mathbf{B}}_j$  (nesta etapa acontece a compressão); (iv) aplica-se a transformada bidimensional inversa, dada por  $\overline{\mathbf{A}_j} = \mathbf{T}^{-1} \cdot \overline{\mathbf{B}}_j \cdot \mathbf{T}$  e (v) recompõem-se o blocos comprimidos  $\overline{\mathbf{A}_j}$  no lugar dos blocos originais da imagem  $\mathbf{A}_j$ . A imagem final comprimida  $\overline{\mathbf{A}}$  pode então ser comparada com a imagem original  $\mathbf{A}$  para avaliar a perda de qualidade imposta pela compressão.
- 19. Utilizamos a relação sinal-ruído de pico (PSNR) como figura de mérito para esta avaliação. A PSNR é dado por:

$$PSNR = 10 \cdot log_{10} \left( \frac{MAX^2}{EQM} \right)$$
,

em que

$$EQM = \frac{\sum_{i=1}^{M} \sum_{j=1}^{M} (A_{i,j} - \bar{A}_{i,j})^{2}}{M^{2}},$$

**A** é a imagem original,  $\overline{A}$  a imagem reconstituída, M é a dimensão de ambas imagens, MAX = 255 é o valor máximo dos elementos de A.

20. A Figura 4 apresenta os valores de PSNR para diferentes escolhas de coeficiente retidos r  $(1 \le r \le 45)$  na compressão da padrão *Lena*, considerando a DCT, a KLT  $(\rho = 0.95)$ ,  $\mathbf{T}_1$  e  $\mathbf{T}_2$ . Como esperado, por ter menor complexidade, as aproximadas propostas perdem um pouco de desempenho, apresentando valores de PSNR um pouco abaixo que a KLT e

- DCT. Contudo, ainda dentro de valores de PSNR admissíveis em várias aplicações em compressão de imagens.
- 21. Como uma avaliação qualitativa, a Figura 3 mostra o resultado da compressão de imagens aplicada na imagem *Lena* retendo apenas os r=10 primeiros coeficientes espectrais. A Figura 3(a) apresenta a imagem original e as Figuras 3(b), 3(c), 3(d) e 3(e) mostram, respectivamente, as imagens comprimidas utilizando a DCT, a KLT, a  $\mathbf{T}_1$  e a  $\mathbf{T}_2$ . Qualitativamente, não há grande diferença entre as imagens comprimidas.
- 22. A Tabela 1 apresenta as complexidades aritméticas das transformadas de comprimento oito com e sem algoritmo rápido. São apresentadas as quantidades de multiplicações e adições requeridas por cada algoritmo. Pode-se observar que as transformadas que não são aproximações exigem multiplicações, já as transformadas aproximadas têm complexidade multiplicativa nula. Observa-se também que as transformadas quando calculadas pelos seus algoritmos rápidos possuem suas complexidades aritméticas reduzidas. Cabe ressaltar que como a KLT depende do sinal de entrada, se tornando diferente para cada entrada, é inviável a construção de algoritmos rápidos para ela.

Transformada	Mult.	Ad.
KLT	64	56
DCT sem algoritmo rápido	64	56
DCT com algoritmo rápido	11	29
$T_1$ sem algoritmo rápido	0	56
T <sub>1</sub> com algoritmo rápido	0	24
$T_2$ sem algoritmo rápido	0	56
T <sub>2</sub> com algoritmo rápido	0	24

Tabela 1

23. Neste documento foi proposta uma abordagem de baixa complexidade computacional para descorrelação de dados. Foi considerada a função sinal dos elementos da matriz da KLT, ou KLT, para derivar transformadas inteiras de baixo custo aritmético. A complexidade computacional desta nova transformada é consideravelmente baixa, pois independe do sinal de entrada e é livre de multiplicações. A SKLT proposta mostrou-se uma boa aproximação para KLT nas medidas de qualidade elegidas. Ainda, no contexto de compressão de imagens a SKLT se mostra bastante útil, evidenciando imagens adequadas a um custo computacional associado bastante baixo.

### **REIVINDICAÇÕES**

- 1. APROXIMAÇÃO PARA A TRANSFORMADA DE KARHUNEN-LOÈVE COM BAIXO CUSTO ARITMÉTICO caracterizada pela compressão e descompressão de imagens e vídeo que seja executado sem operações em ponto flutuante utilizando a SKLT no bloco de transformação.
- 2. APROXIMAÇÃO PARA A TRANSFORMADA DE KARHUNEN-LOÈVE COM BAIXO CUSTO ARITMÉTICO caracterizada por utilizar a transformada inversa proposta (SKLT<sup>-1</sup>) no bloco de transformação 2-D inversa no esquema geral de descompressão de imagem.
- 3. APROXIMAÇÃO PARA A TRANSFORMADA DE KARHUNEN-LOÈVE COM BAIXO CUSTO ARITMÉTICO caracterizada por executar operações em ponto flutuante e substituir qualquer circuito esquemático rápido para a KLT pelo circuito esquemático rápido para a transformada direta proposta (SKLT) ilustrado na Figura 1.

## **FIGURAS**

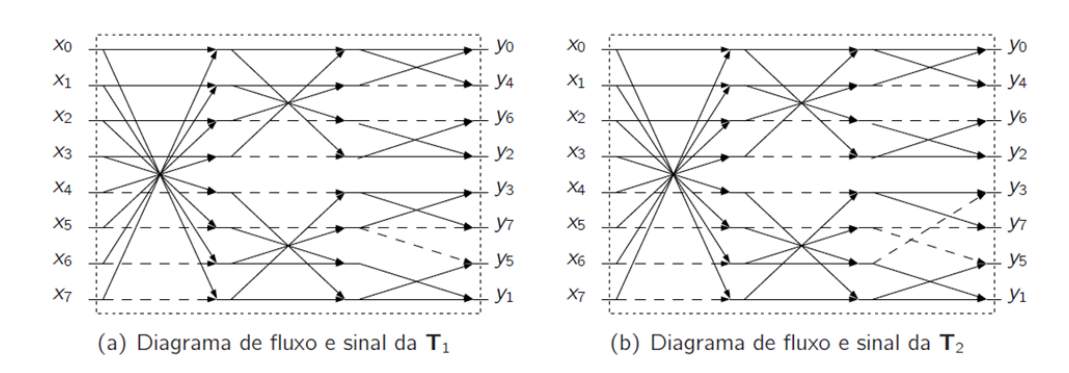


Figura 1

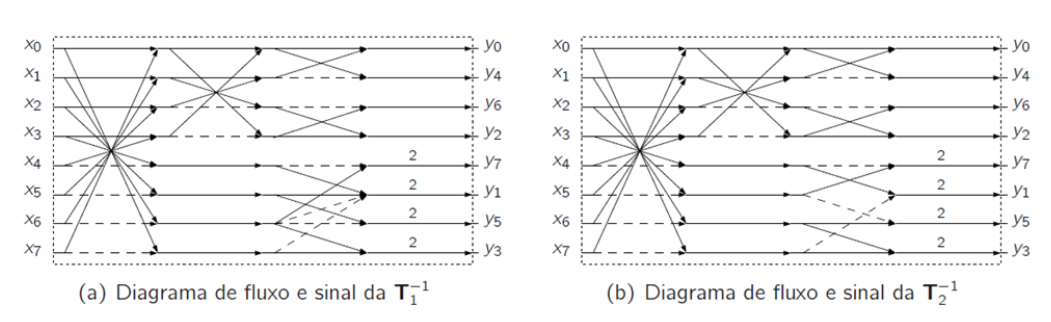


Figura 2

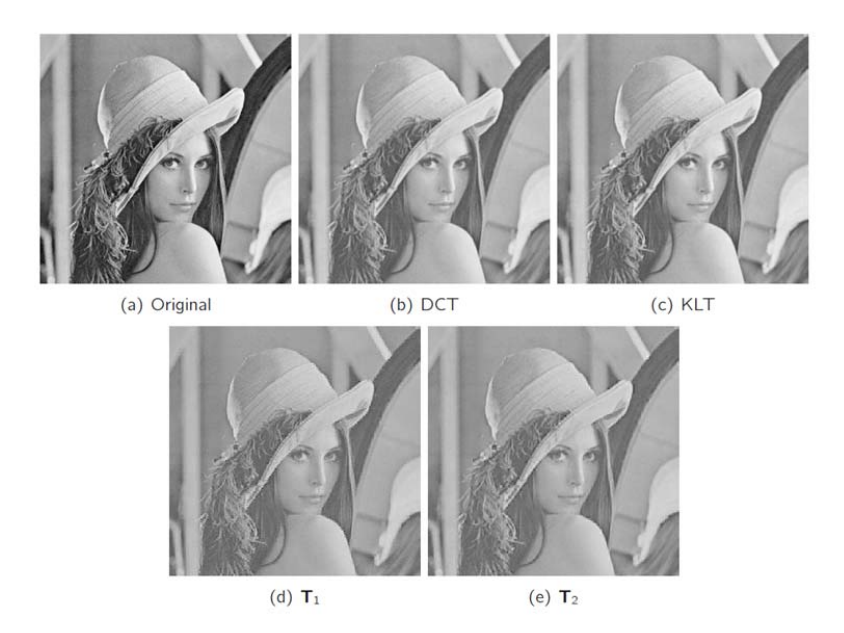
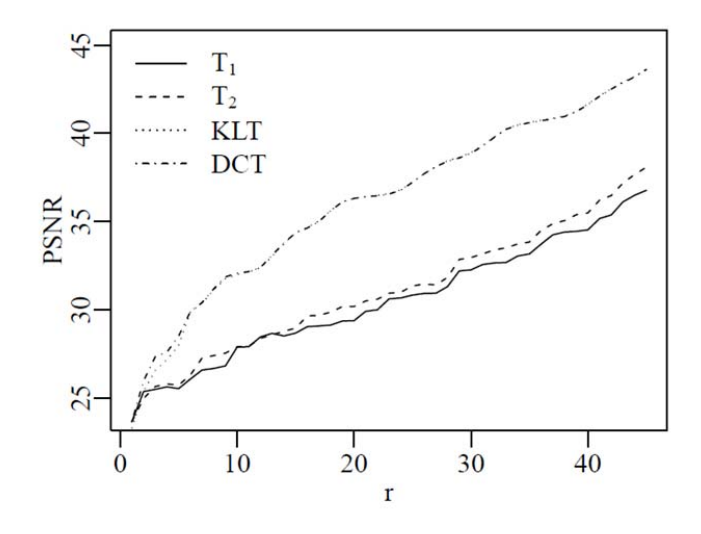


Figura 3



#### **RESUMO**

## APROXIMAÇÃO PARA A TRANSFORMADA DE KARHUNEN-LOÈVE COM BAIXO CUSTO ARITMÉTICO COM APLICAÇÕES EM COMPRESSÃO DE IMAGENS

A transformada de Karhunen-Loève (KLT) é frequentemente utilizada na descorrelação de dados e na redução de dimensionalidade. Por sua característica de compactação de energia em poucos componentes, encontram-se aplicações importantes da KLT no contexto de compressão de imagens. Contudo, seu uso em aplicações reais é impossibilitado devido ao alto custo computacional requerido para seu cálculo a cada sinal de entrada. Neste contexto, a presente invenção propõe uma versão de baixo custo computacional para a KLT por meio da aplicação da função sinal nos elementos da matriz induzida pela KLT. Denominamos a transformada proposta por KLT sinalizada (SKLT). É dada ênfase nas transformadas de comprimento 8 devido à utilização desse comprimento de transformadas na codificação de imagem, como no padrão JPEG. A SKLT foi numericamente avaliada por meio de medidas de codificação e de distância totais para a KLT exata.